

## برآورد پاسخ لرزه‌ای قاب‌های خمشی فولادی در سطح آستانه فروریزش با استفاده از یک روش تحلیل پوش اور مودال پیشنهادی

سasan عشقی<sup>\*</sup>، محمدمهردی مداد، علیرضا گرانی نژاد

پژوهشکده مهندسی سازه، پژوهشگاه بین‌المللی زلزله‌شناسی و مهندسی زلزله، تهران، ایران

### تاریخچه داوری:

دریافت: ۱۳۹۸/۰۷/۳۰

بازنگری: ۱۳۹۸/۱۱/۱۴

پذیرش: ۱۳۹۸/۱۱/۱۵

ارائه آنلاین: ۱۳۹۸/۱۲/۱۱

**خلاصه:** برآورد پارامترهای تقاضای مهندسی مبتنی بر جایه‌جایی در فرآیند ارزیابی فروریزش لرزه‌ای سازه‌ها از اهمیت بالایی برخوردار است. در این پژوهش، یک روش پوش اور مودال به منظور برآورد این پارامترها توسعه داده می‌شود. در روش پیشنهادی، ابتدا یک معیار فروریزش برای تعیین سطح آستانه فروریزش در تحلیل‌های پوش اور پیشنهاد می‌گردد. این معیار براساس منحنی طرفیت طبقات ارائه شده و تنها به مشخصات سازه واگسته است. سپس به منظور تعیین پارامترهای پاسخ مبتنی بر جایه‌جایی در سطح آستانه فروریزش سازه، یک روش ترکیب پاسخ‌های مودال ارائه می‌شود. در

**کلمات کلیدی:**  
تحلیل پوش اور مودال  
روش‌های ترکیب پاسخ‌های مودال  
الگوریتمهای بهینه‌سازی  
ارزیابی فروریزش لرزه‌ای  
قاب خمشی فولادی میان مرتبه  
این روش، پاسخ‌های حاصل از تحلیل پوش اور مودال با ضرایب حاصل از بهینه‌سازی به صورت جبری ترکیب می‌گردد. دو روش بهینه‌سازی برخورد اجسام و بهینه‌سازی ازدحام ذرات به منظور استخراج این ضرایب مورد استفاده قرار می‌گیرند. بهینه‌سازی براساس نتایج تحلیل دینامیکی افزایشی سه قاب خمشی فولادی ۵، ۸ و ۱۱ طبقه انجام شده است. دو قاب ۹ و ۱۲ طبقه نیز به منظور ارزیابی روش پیشنهادی مورد استفاده قرار گرفته‌اند. نتایج تحلیل‌های صورت گرفته نشان می‌دهد روش پوش اور پیشنهادی پروفیل دریفت و جایه‌جایی طبقات در آستانه فروریزش سازه را با دقت بسیار خوبی تخمین می‌زند. این روش بسیار کاربردی بوده و برای عموم مهندسین قابل استفاده می‌باشد.

### ۱- مقدمه

EDP متداول در ارزیابی‌های لرزه‌ای است و کنترل آن در آیین‌نامه‌های طراحی لرزه‌ای نیز مد نظر قرار دارد [۳] لذا در این مطالعه، هدف اصلی برآورد پروفیل دریفت طبقات در آستانه فروریزش می‌باشد. دقیق‌ترین و جامع‌ترین روش برآورد مقادیر EDP سازه، استفاده از روش‌های دینامیکی غیرخطی تحت گروه شتاب‌نگاشتهای زلزله است. این روش‌ها با وجود دقت بالا، زمان بر بوده و مستلزم هزینه بالای محاسباتی هستند و تفسیر نتایج حاصل از آن پیچیده است. استفاده از روش‌های استاتیکی غیرخطی (پوش اور) به عنوان روش‌های جایگزین، رواج بالای دارد [۴] و کاربرد آنها در دستورالعمل‌های بهسازی از قبیل ASCE 41 نیز مورد تأیید قرار گرفته است [۵] در تحلیل پوش اور کلاسیک، سازه به صورت غیرخطی مدل‌سازی و سپس با یک الگوی بار مطابق شکل مود اول تا رسیدن به جایه‌جایی هدف مشخص، به صورت مونوتونیک بارگذاری می‌شود. کراوینکلر و

بیشترین خسارات در زمین‌لرزه‌ها براثر ایجاد آسیب‌های شدید سازه‌ای، از دست رفتن پایداری سازه‌ها و فروریزش ساختمان‌های موجود به وجود می‌آید [۱] لذا ارزیابی فروریزش لرزه‌ای ساختمان‌ها از اهمیت بالایی برخوردار است. در این فرآیند برآورد دقیق مقادیر تقاضای مهندسی (EDP<sup>۱</sup>) بسیار حائز اهمیت است. تحقیقات نشان داده است که نسبت دریفت طبقات نسبت مستقیمی با میزان خرابی‌ها در سازه دارد [۲] پروفیل دریفت طبقات در زمان فروریزش، مکانیزم کلی فروریزش را نشان می‌دهد و طبقات دارای تمرکز خرابی را ارائه می‌نماید. مقدار حداقل نسبت دریفت طبقات<sup>۲</sup> ( $IDR_{max}$ ) نیز یک

۱ Engineering Demand Parameter

۲ Inter-story Drift Ratio

\* نویسنده عهده‌دار مکاتبات: s.eshghi@iiees.ac.ir



شکل پذیری تقاضا، کاهش می‌یابد، زیرا روش ترکیب مودال مورد استفاده در آن در محدوده غیر خطی نادرست بوده و از دقت کافی برخوردار نیست. یکی از جدیدترین روش‌های چندبار تکرار توسط گوان و همکاران پیشنهاد شده است [۱۳] که در آن نتایج حاصل از تحلیل پوش‌اور با سه الگوی بارگذاری شکل مد اول، یکنواخت و متتمرکز در بام با ضرایبی پیشنهادی ترکیب می‌گردد.

در تحقیق پیش‌رو، یک روش جدید برای ترکیب پاسخ‌های پوش‌اور مودال در سطح عملکرد آستانه فروریزش که سازه کاملاً وارد محدوده غیرخطی شده و دقت روش ترکیب SRSS کاهش پیدا می‌کند، پیشنهاد می‌گردد. در این روش پاسخ‌های حاصل از تحلیل پوش‌اور مودال، با استفاده از ضرایب ثابت پیشنهادی به صورت جبری با یکدیگر جمع می‌شود. این ضرایب، با استفاده از دو روش متداول بهینه‌سازی به گونه‌ای تعیین شدنده که میزان خطا در مقایسه با نتایج تحلیل دینامیکی غیرخطی حاصل از ۴۴ رکورد دور از گسل FEMA ۲۶۹۵ حداقل گردد. روش‌های بهینه‌سازی الگوریتم ازدحام ذرات و بهینه‌سازی برخورد اجسام روش‌هایی هستند که در این مطالعه مورد استفاده قرار گرفته‌اند.

در روش پوش‌اور پیشنهادی، یک روش جدید نیز به منظور تعیین جابه‌جایی هدف متناظر با سطح عملکرد آستانه فروریزش سازه ارائه می‌گردد. در ادبیات فنی در این زمینه روش‌های مختلفی ارائه شده است که در آنها از اصلاح جابه‌جایی سازه یک درجه آزاد معادل، جابه‌جایی هدف سازه اصلی حاصل می‌شود. در روش N<sup>2</sup> جابه‌جایی هدف سازه یک درجه آزاد از تقاطع منحنی ظرفیت سازه یک درجه آزاد معادل با طیف‌های غیرالاستیک تقاضا به دست می‌آید [۱۵] در روش ضرایب که در دستورالعمل‌های بهسازی نیز ارائه شده است، جابه‌جایی سازه یک درجه آزاد معادل از طیف‌های طراحی و یا طیف رکوردهای زمین لرزه حاصل می‌شود [۵] در روش پوش‌اور مودال نیز سازه یک درجه آزاد معادل تحت تحلیل تاریخچه زمانی قرار می‌گیرد [۹] جابه‌جایی هدف در این روش‌ها به جابه‌جایی سازه یک درجه آزاد معادل و به طیف یا رکورد زلزله وابسته است. در روش پیشنهادی این پژوهش، جابه‌جایی سطح آستانه فروریزش به گونه‌ای تعریف می‌شود که به رکورد یا طیف زلزله وابسته نبوده و تنها به سازه و الگوی بارگذاری وابسته است. در این روش، ترکیبی از دریفت طبقات و برش طبقات در قالب منحنی ظرفیت طبقه برای تعریف معیار آستانه فروریزش مورد استفاده قرار می‌گیرد.

سنوسیراتنا نشان دادند که این روش برای سازه‌های کم ارتفاع همراه با خصوصیات یکسان غیرخطی در ارتفاع، نتایج قابل قبولی ارائه می‌کند؛ ولی در سازه‌های میان مرتبه و بلندمرتبه یا ساختمان‌های نامنظم که مودهای بالا در آنها اهمیت دارند دارای ضعف است [۶] در ادبیات فنی روش‌های نوینی برای بهبود نتایج روش پوش‌اور کلاسیک برمبنای تغییر پارامترهای مهم تحلیل پوش‌اور شامل ثابت یا بهنگام‌شونده بودن الگوی بار، شکل الگوی بار جانبی و جابه‌جایی هدف سازه ارائه شده است. روش‌های با الگوی بار بهنگام شونده با وجود اینکه پاسخ‌های سازه را بهبود می‌دهند، کاربرد پیچیده و هزینه محاسباتی بالایی دارند و نیازمند استفاده از نرم افزارهای خاص یا کدنویسی‌های مجزا هستند [۲، ۷ و ۸] لذا در میان مهندسین زلزله رواج زیادی پیدا نکرده و وارد دستورالعمل‌های ارزیابی نشده‌اند.

بار جانبی وارد در روش‌های نوین پوش‌اور، عموماً ترکیبی از شکل مودهای اصلی سازه بوده و به صورت یکبار تکرار یا چندبار تکرار به سازه اعمال می‌گردد. در روش‌های یکبار تکرار، شکل بارگذاری از ترکیب اشکال مودی با ضرایب ثابت یا وابسته به پارامترهای سازه حاصل می‌شود [۷، ۱۱-۹] در روش‌های چند بار تکرار، چند الگوی بارگذاری از ترکیب اشکال مودی حاصل شده و به سازه اعمال می‌گردد که پاسخ نهایی سازه ترکیبی از نتایج این تحلیل‌ها یا پوش آنها است [۲، ۱۲ و ۱۳].

یکی از روش‌های نوین چندبار تکرار که از یک طرف اثرات مودهای بالاتر را در نظر گرفته و دقت مناسبی در برآورد پاسخ انواع سازه‌ها دارد و از طرفی کاربرد آن از پیچیدگی زیادی برخوردار نیست، روش پوش‌اور مودال (MPA)<sup>۱</sup> است. در این روش که توسط چوپرا و گل [۹] توسعه یافته است، بارگذاری به صورت ثابت و بر مبنای شکل مود اول تا سوم سازه تا جابه‌جایی هدف متناظر هر مود صورت می‌گیرد. پاسخ نهایی سازه از ترکیب SRSS<sup>۲</sup> و یا CQC<sup>۳</sup> نتایج پوش‌اور مودی تعیین می‌شود. چینتناپاک و چوپرا دقت این روش را برای سازه‌های یک دهانه ۳، ۹، ۱۲ و ۱۸ طبقه با ۵ سطح مختلف شکل پذیری مورد ارزیابی قرار دادند [۱۴] نتایج نشان داد این روش در تخمین تقاضای لرزه‌ای سازه‌ها برای ارتفاع‌های متفاوت و سطوح شکل پذیری مختلف دقت مناسبی ارائه می‌کند. با این وجود، دقت این روش با افزایش

<sup>1</sup> Modal Pushover Analysis

<sup>2</sup> Square Root of the Sum of the Squares

<sup>3</sup> Complete Quadratic Combination

در عین حال که از حجم محاسبات خصوصاً در روش‌های دینامیکی تاریخچه زمانی می‌کاهد، پاسخ‌های مناسبی نیز ارائه می‌نماید [۱۸ و ۱۹] همچنین در دستورالعمل‌های مرتبط با ارزیابی فروریزش لرزه‌ای مانند FEMA P695 مدل‌سازی دوبعدی ساختمان‌های منظم مورد تایید قرار گرفته است [۲۰] لذا در این تحقیق، یک قاب دوبعدی از هر ساختمان انتخاب شده و مورد استفاده قرار می‌گیرد.

بخش قابل توجهی از ساختمان‌های فولادی میان‌مرتبه متداول در ایران حداقل در یک جهت از سیستم قاب خمشی با شکل پذیری متوسط استفاده می‌کنند. در این تحقیق، سه ساختمان ۵، ۸ و ۱۱ طبقه منظم در پلان و ارتفاع با کف‌های عرشه فولادی (کامپوزیت) طبق استاندارد ۲۸۰۰ [۲۱] و روش حالات حدی مبحث دهم مقررات ملی ساختمان [۲۲] طراحی شده و به عنوان ساختمان‌های مرجع

در این مطالعه، سه قاب خمشی ۵، ۸ و ۱۱ طبقه طراحی شده با روش حالات حدی براساس استاندارد زلزله ۲۸۰۰ به عنوان ساختمان‌های مرجع در نظر گرفته شده‌اند و روش پیشنهادی براساس نتایج این ساختمان‌ها به دست آمده است. به عنوان ساختمان‌های نمونه یک ساختمان ۹ طبقه SAC و یک ساختمان ۱۲ طبقه طراحی شده مورد ارزیابی قرار گرفته و نتایج آن ارائه گردیده است.

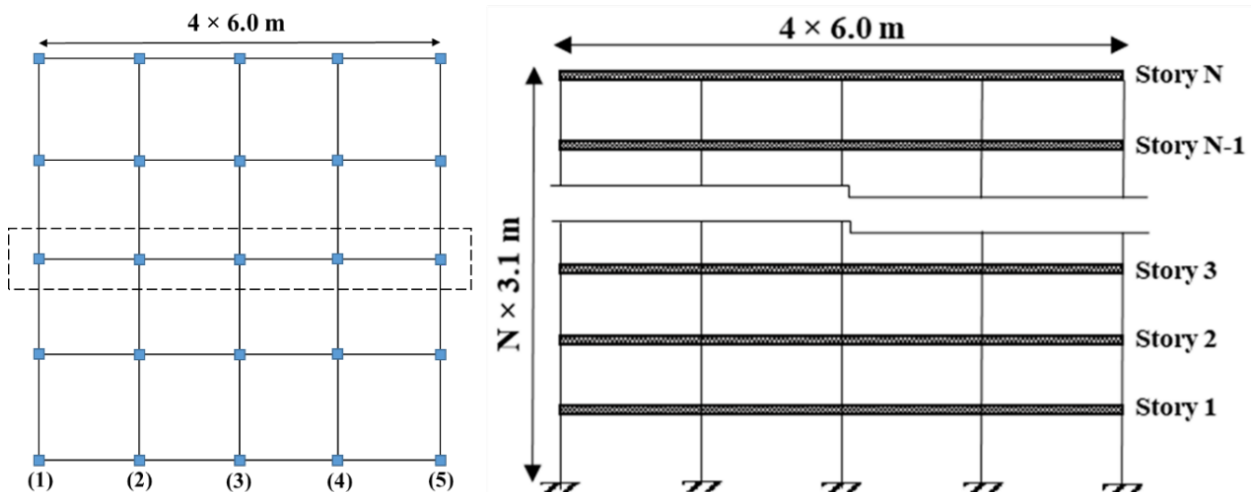
## ۲- ساختمان‌های مورد مطالعه

تحقیقات آزمایشگاهی متعددی نشان می‌دهد که در ارزیابی فروریزش لرزه‌ای قاب‌های خمشی منظم در پلان و ارتفاع، پاسخ‌های مدل دوبعدی تفاوت قابل توجهی با مدل سه بعدی ندارد [۱۶ و ۱۷] از این رو در این گروه از ساختمان‌ها استفاده از مدل‌های دو بعدی

جدول ۱. جزئیات بارگذاری ثقلی ساختمان‌های مورد مطالعه

Table 1. The gravity loading details of the under-study IMRFs

(Live Load)	بار زنده	(Dead Load)	بار مرده	نوع
	200 Kg/m <sup>2</sup>		500 Kg/m <sup>2</sup>	کف مسکونی
	150 Kg/m <sup>2</sup>		500 Kg/m <sup>2</sup>	کف بام
	-		600 Kg/m	دیوار پیرامونی



شکل ۱. نمای قاب‌های خمشی ۵، ۸ و ۱۱ طبقه مورد مطالعه

Fig. 1. The elevation view of the under-study 5, 8 and 11-story IMRFs

جدول ۲. مشخصات مقاطع قاب‌های خمثی ۵، ۸ و ۱۱ طبقه مورد مطالعه

Table 2. The section details of the under-study 5, 8 and 11-story IMRFs

		St 1	St 2	St 3	St 4	St 5	St 6	St 7	St 8	St 9	St 10	St 11
5st	Beam	Bays 1, 4	7	7	8	8	9					
		Bays 2, 3	8	8	8	8	9					
	Column	Axis 1, 5	4	4	4	5	5					
		Axis 2, 4	4	4	5	5	5					
		Axis 3	4	4	5	5	5					
	8st	Bays 1, 4	6	6	7	7	7	8	8	9		
		Bays 2, 3	8	8	8	8	8	8	8	9		
		Axis 1, 5	3	3	3	4	4	5	5	5		
		Axis 2, 4	3	3	4	4	4	5	5	5		
		Axis 3	3	3	4	4	4	5	5	5		
11st	Beam	Bays 1, 4	6	6	6	6	6	6	8	8	8	10
		Bays 2, 3	6	6	7	7	8	8	8	8	8	10
		Axis 1, 5	1	1	1	3	3	3	4	4	4	4
	Column	Axis 2, 4	2	2	2	3	3	3	4	4	4	4
		Axis 3	2	2	2	3	3	3	4	4	4	4

جدول ۳. مشخصات مقاطع المانهای قاب‌های خمثی ۵، ۸ و ۱۱ طبقه مورد مطالعه

Table 3. The member details of the under-study 5, 8 and 11-story IMRFs

	ستون‌ها با مقطع HSS			تیرها با مقطع I			
Tag	D(cm)	t (cm)	Tag	d (cm)	b <sub>f</sub> (cm)	t <sub>f</sub> (cm)	t <sub>w</sub> (cm)
1	32.00	2.00	6	50.00	22.00	2.00	1.10
2	30.00	2.00	7	44.00	20.00	1.50	1.00
3	25.00	2.00	8	40.00	20.00	1.50	1.00
4	22.00	2.00	9	36.00	18.00	1.20	1.00
5	20.00	2.00	10	32.00	16.00	1.20	1.00

مورد استفاده قرار گرفته‌اند. بارگذاری ثقلی این ساختمان‌ها طبق شده است. این ساختمان‌ها در ساختگاه با خاک نوع ۲ (خاک سخت) با خطر نسبی خیلی زیاد و دور از گسل واقع شده‌اند. نمای کلی این قاب‌ها در شکل ۱ نشان داده شده‌اند. مشخصات مقاطع اجزای این قاب‌ها نیز در جدول ۲ و جدول ۳ ارائه گردیده است.

مبحث ششم مقررات ملی ساختمان [۲۳] طبق جدول ۱ انجام شده، جرم مؤثر لرزه‌ای از ترکیب Dead+Live+۱,۰۵GPa تعیین گردیده است [۲۰] در این ساختمان‌ها ترکیب Dead+Live مدول الاستیسیته فولاد برابر ۲۰۰ GPa، تنش تسلیم فولاد تیرها برابر

## جدول ۴. دوره تناوب و درصد جرم مودی سه مود اول قاب‌های مورد مطالعه

Table 4. Three periods and modal mass ratios of the under-study IMRFs

Model	Mode 1		Mode 2		Mode 3	
	T <sub>1</sub> (s)	Mass%	T <sub>2</sub> (s)	Mass%	T <sub>3</sub> (s)	Mass%
5st	1.27	85%	0.44	12%	0.25	3%
8st	1.85	82%	0.66	13%	0.39	5%
11st	2.16	80%	0.80	14%	0.46	6%

نهایی ( $\theta_p$ ) تعریف می‌گردد. همچنین سه مود زوال چرخهای مقاومت پایه، مقاومت پسا-بیشینه و زوال سختی بارگذاری-باربرداری برای المان تعریف می‌شود. یکی از مهم‌ترین مزایای این روش مدل‌سازی ارائه پارامتری به منظور در نظر گرفتن اثرات زوال چرخهای در تحلیل‌های تاریخچه زمانی براساس انرژی جذب شده توسط اجزای سازه‌ای است. تحقیقات نشان داده است که در سازه‌های با سیستم قاب خمی تأثیرات زوال اجزا، فروریزش جانبی را تسريع می‌کنند. منحنی‌های آماری حاصل از قاب‌هایی که اجزای آن زوال سختی و مقاومت را در نظر نمی‌گیرند، نشان می‌دهد که در این شرایط سازه حتی در تغییرشکل‌های نسبی بزرگ نیز پایداری خود را حفظ می‌کند. در حالی که در قاب‌هایی که زوال سختی و مقاومت در مدل‌سازی آن‌ها دیده شده است، حتی در زمانی که تنها اجزای خمی در نظر گرفته شده و از شکستهای برشی و محوری صرف‌نظر شده باشد، فروریزش ناشی از دریافت زیاد یک طبقه بدون مرز گسترش پیدا کرده و فروریزش جانبی رخ می‌دهد [۱۶]

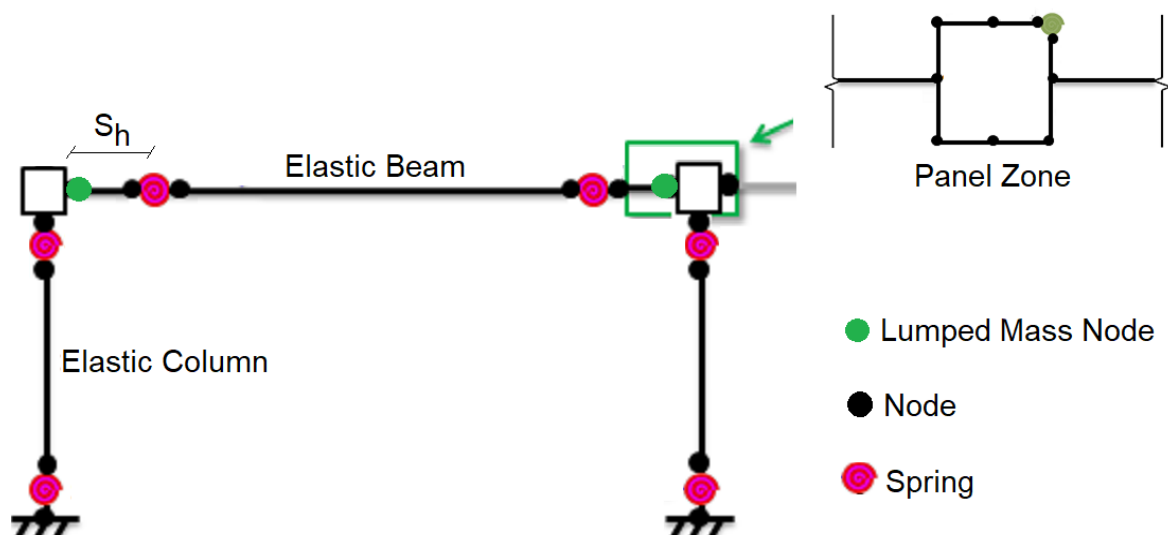
در این تحقیق با توجه به اینکه هدف، مدل‌سازی هر چه دقیق‌تر قاب‌های خمی است، رفتار چشممه اتصال نیز در مدل‌سازی در نظر گرفته می‌شود. تحقیقات متعدد نشان داده است این المان تأثیر بسزایی بر عملکرد لرزه‌ای ساختمان‌های فولادی دارند [۳۰ و ۳۱] با این وجود، در برخی تحقیقات در شرایطی که ابعاد مقاطع تیر و ستون ضوابط دستورالعمل‌های ارزیابی را ارضاء کنند با هدف ساده‌سازی مدل‌ها و افزایش سرعت تحلیل از آن صرف‌نظر می‌شود [۳۲] به منظور مدل‌سازی چشممه اتصال از روش پیشنهادی گوپتا و کراوینکلر در سال ۲۰۰۰ استفاده می‌شود [۳۳] در این روش، چشممه اتصال شامل هشت المان الاستیک صلب می‌شود که با یک فنر پیچشی در یک گوشه و سه مفصل در گوشه‌های دیگر به یکدیگر متصل

در جدول ۴ دوره تناوب و درصد جرم مودی سه مود اول قاب‌های مورد مطالعه ارائه شده است. همان‌گونه که مشاهده می‌شود در هر سه قاب، درصد جرم مؤثر مود اول و دوم ساختمان بالای ۹۰٪ است، لذا پیش‌بینی می‌شود که بتوان از تأثیر مود سوم در پاسخ‌های سازه می‌توان صرف نظر نمود.

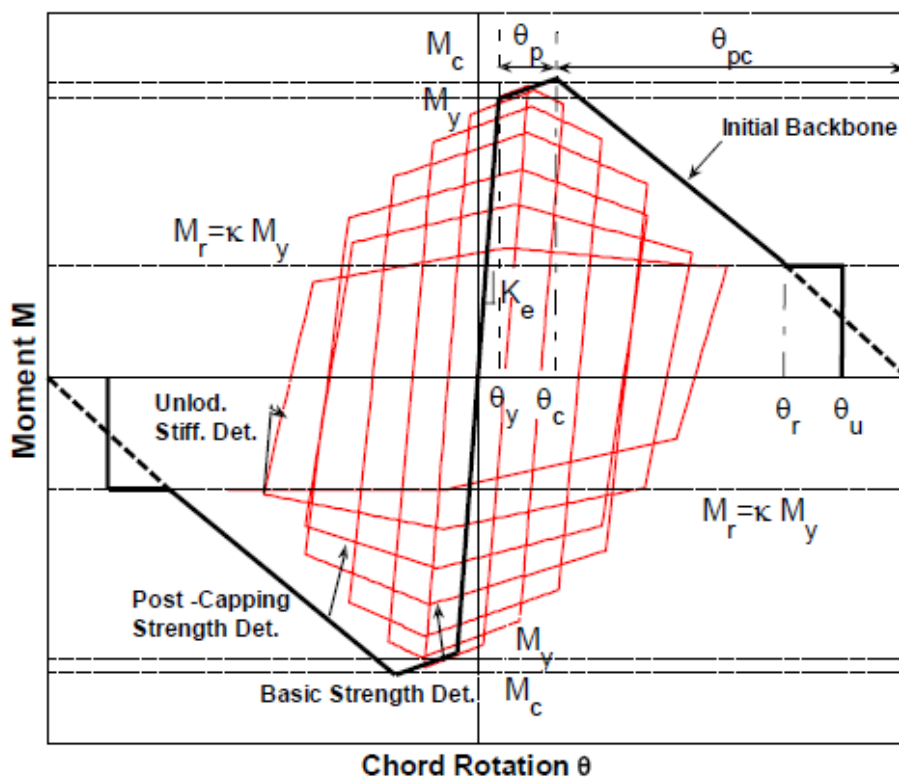
## ۲-۱- مدل‌سازی نرم‌افزاری

در این مطالعه، از نرم‌افزار OpenSEES<sup>1</sup> به منظور مدل‌سازی سازه‌های مورد مطالعه استفاده می‌شود. ارزیابی فروریزش لرزه‌ای سازه‌ها مستلزم بکارگیری مدل‌های نرم‌افزاری است که رفتار غیرخطی سازه‌ها و مودهای خرابی مؤثر در فروریزش سازه را در نظر بگیرد. در این مطالعه اجزای اصلی قاب‌های خمی شامل تیر، ستون و چشممه اتصال طبق شکل ۲ پیکربندی می‌شوند. تیرها و ستون‌ها به صورت الاستیک با مفاصل پلاستیک متتمرکز با مصالح IMK<sup>2</sup> اصلاح شده در دو انتهای مدل می‌شوند و اثرات مرتبه دوم پی-دلتا در تعریف ستون‌های قاب اعمال می‌گردد. مدل IMK اصلاح شده در تحقیقاتی که توسط لیگنوس و کراوینکلر در انجام شده است [۲۶-۲۴] برمبنای مدل بک-بون<sup>3</sup> مفاصل پلاستیک و مدل زوال چرخهای مبتنی بر انرژی ارائه شده توسط ایبارا، مودینا و کراوینکلر [۲۷ و ۲۸] ارائه گردیده است (شکل ۳). منحنی بک-بون توسط سه پارامتر مقاومتی لنگر تسلیم مؤثر ( $M_y$ )، لنگر تسلیم بیشینه ( $M_c$ ) و لنگر پسماند ( $M_r$ ) و چهار پارامتر تغییر شکلی دوران تسلیم ( $\theta_p$ )، دوران پلاستیک پیشا-بیشینه<sup>۴</sup> ( $\theta_p$ )، دوران پلاستیک پسا-بیشینه<sup>۵</sup> ( $\theta_{pc}$ ) و ظرفیت دورانی

<sup>1</sup> Open System for Earthquake Engineering Simulation<sup>2</sup> Ibarra-Medina-Krawinkler<sup>3</sup> Backbone<sup>4</sup> Pre-Capping<sup>5</sup> Post-Capping



شکل ۲. پیکربندی کلی قاب خمشی شامل تیر و ستون الاستیک، فرهاي دورانی مربوطه و چشميه اتصال [۲۹]  
Fig. 2. The configuration of the IMRFs including beam, column, rotational springs and panel zone



شکل ۳. پارامترهای منحنی بک-بون و انواع زوال چرخه‌ای در مدل IMK اصلاح شده [۲۴]  
Fig. 3. The back-bone curve parameters and the cyclic deteriorations in the modified IMK model

می‌گردد.

گستردگی در سازه مناسب است. در طول تحلیل پوش اور، منحنی ظرفیت تعدادی از طبقات در مختصات  $IDR_{st}$ - $V_{st}$  شکل بازگشتی پیدا می‌کند. این پدیده متناظر با شروع تمرکز خرابی در یک یا چند طبقه از ساختمان است که باعث ایجاد شکل بازگشتی در منحنی ظرفیت سایر طبقات می‌شود. در این پژوهش، گام متناظر با اولین بازگشت منحنی ظرفیت طبقات سازه به عنوان شروع فرآیند خرابی عمدۀ و متناظر با سطح عملکرد  $CP$  در نظر گرفته می‌شود. این روش به صورت گام به گام شامل مراحل زیر است:

- ۱) تحلیل پوش اور سازه انجام می‌شود.

۲) منحنی ظرفیت طبقات در مختصات  $IDR_{st}$ - $V_{st}$  برای کلیه طبقات استخراج می‌گردد.

۳) گام متناظر با اولین بازگشت در منحنی ظرفیت طبقات به عنوان آستانه فروریزش  $CP$  سازه تعیین می‌شود.

در شکل ۴ برای نمونه روند تعیین سطح آستانه فروریزش یک قاب ۵ طبقه تحت بارگذاری مطابق شکل مود اول سازه ارائه گردیده است. جایه‌جایی بام متناظر با این سطح نیز نشان داده شده است. گام مشخص شده با علامت '۰' در منحنی ظرفیت طبقات، گامی است که منحنی ظرفیت آن طبقه شکل بازگشتی پیدا می‌کند. گامی که منحنی ظرفیت در اولین طبقه از سازه شکل بازگشتی پیدا کند،

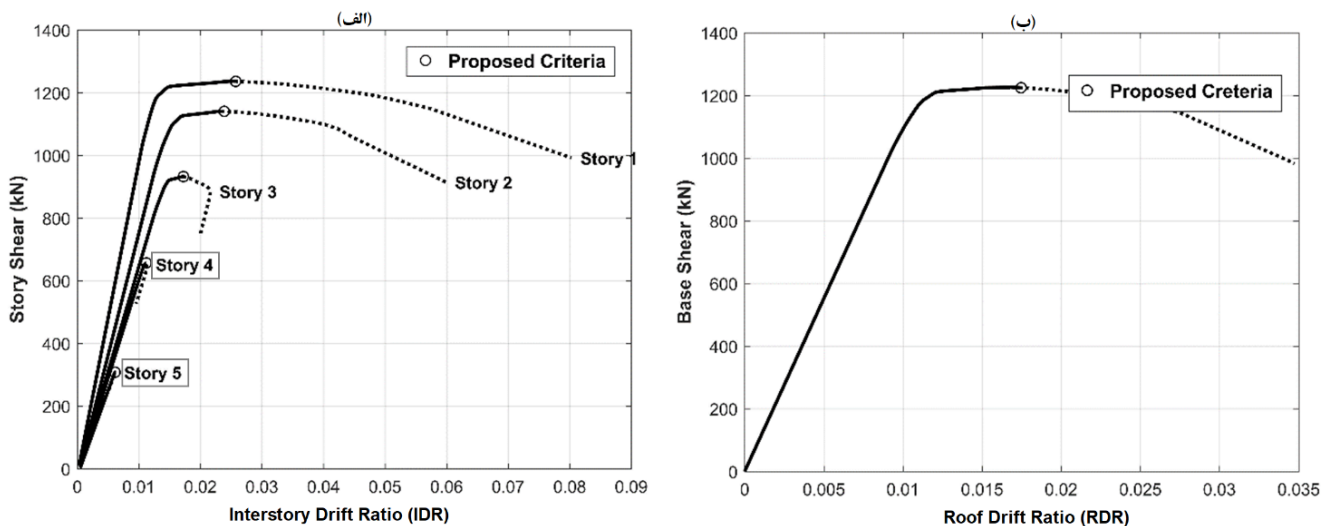
همچنین در این مدل‌سازی، جرم و وزن طبقات به نسبت سطح بارگیری بین گره‌ها تقسیم شده و به صورت متمرکز بر روی گره‌های متصل به دو سمت چشمۀ اتصال وارد می‌شود.

روش مدل‌سازی استفاده شده در این تحقیق، توسط لیگنوس و ادز برای یک قاب خمی فولادی دو طبقه در راهنمای برنامه OpenSEES ارائه شده و صحت‌سنگی گردیده است [۳۴ و ۳۶]. همچنین لیگنوس با استفاده از این رهیافت، نتایج آزمایش میز لرزه E-Defense بر روی یک قاب چهار طبقه را صحت‌سنگی کرده است [۳۵]

### ۳- معیار فروریزش پیشنهادی

تحقیقات نشان داده است پارامترهای نسبت دریفت بین طبقه‌ای ( $IDR_{st}$ ) و برش طبقات ( $V_{st}$ ) نسبت مستقیمی با میزان خرابی‌های ایجاد شده در سازه دارند [۳۶] در این تحقیق با ترکیب این دو شاخص و استخراج منحنی ظرفیت طبقات، یک معیار جدید برای تعريف سطح آستانه فروریزش ( $CP^1$ ) پیشنهاد می‌شود که تنها به سازه و الگوی بارگذاری وابسته است و از نظر مفهومی با شروع فرآیند خرابی

#### 1 Collapse Prevention



شکل ۴. (الف) استخراج گام متناظر با آستانه فروریزش با روش پیشنهادی، (ب) جایه‌جایی نسبی بام متناظر با سطح آستانه فروریزش

Fig. 4. a) Extracting the CP level step by the proposed criterion, b) the roof drift ratio corresponding to the CP level

تحلیل‌های پوش اور مودی مود ۱ ام و روش پیشنهادی هستند که پوش اور مودال بهینه شده<sup>(۱)</sup> (OMPA<sup>(۲)</sup>) نام‌گذاری می‌شود. ضرایب  $\alpha_i$  استفاده از الگوریتم‌های بهینه‌سازی و براساس پاسخ‌های سه قاب خمی منظم با شکل‌پذیری متوسط ۵، ۸ و ۱۱ طبقه در آستانه فروریزش تعیین و پیشنهاد شده‌اند. در ساختمان‌های میان‌مرتبه منظم، صرف‌نظر کردن از تأثیر مود سوم در پاسخ‌های محلی سازه تأثیر قابل ملاحظه‌ای در میزان خطا ندارد [۲] با توجه به اینکه یکی از اهداف این تحقیق توسعه روشی ساده و مهندسی است، ضرایب ترکیب مودی با در نظر گرفتن دو و سه مود اول به دست می‌آید و دقت نتایج مورد بررسی قرار می‌گیرد. در ادامه این بخش، فرآیند بهینه‌سازی مورد استفاده به منظور استخراج این ضرایب ارائه می‌شوند.

#### ۴-۱- استخراج ضرایب ترکیب مودی با استفاده از روش‌های بهینه‌سازی

هدف از بهینه‌سازی یافتن بهترین جواب قابل قبول، با توجه به محدودیت‌ها و نیازهای مسئله است. به منظور مقایسه جواب‌های مختلف یک مسئله و انتخاب جواب بهینه، تابعی به نام تابع هدف تعریف می‌شود که به طبیعت مسئله وابسته است. همچنین هر مسئله بهینه‌سازی دارای تعدادی متغیر مستقل است که آنها را متغیرهای طراحی می‌نامند. هدف از بهینه‌سازی تعیین متغیرهای طراحی است، به گونه‌ای که تابع هدف کمینه یا بیشینه شود که این امر با استفاده از الگوریتم‌های بهینه‌سازی انجام می‌شود. تحقیقات نشان داده است که الگوریتم‌های ابتکاری که با الهام از طبیعت، فیزیک و انسان طراحی شده‌اند در حل مسائل مشکل ترکیبی نتایج بسیار خوبی داشته است. کاربرد این روش‌ها در مهندسی سازه نیز در شاخه‌های مختلف توسعه پیدا کرده است. در این مطالعه، الگوریتم بهینه‌سازی از دحام ذرات<sup>(۳)</sup> (PSO<sup>(۴)</sup>) [۳۷] و الگوریتم بهینه‌سازی برخورد اجسام<sup>(۵)</sup> (CBO<sup>(۶)</sup>) [۳۸] به منظور استخراج ضرایب ترکیب مودی مورد استفاده قرار گرفتند. به منظور تعیین این ضرایب، ابتدا سازه‌های مورد مطالعه تحت تحلیل پوش اور مودال با الگوی بار مطابق اشکال مودهای اول تا سوم قرار گرفته و منحنی‌های ظرفیت آنها و گام معادل آستانه فروریزش آنها با معیار پیشنهادی در این پژوهش به دست آمد که در

معادل آستانه فروریزش CP سازه است.

در این قاب اولین بازگشت منحنی ظرفیت در طبقات چهارم و پنجم مشاهده می‌شود. در این گام از این طبقات باربرداری شده و خرابی در طبقات اول تا سوم متتمرکز می‌گردد. با ادامه بارگذاری، از طبقه سوم نیز باربرداری شده و خرابی در طبقات و اول دوم ادامه می‌یابد تا اینکه این طبقات دچار فروریزش می‌گردند.

#### ۴- روش پوش اور پیشنهادی

از دو دهه گذشته که روش پوش اور کلاسیک مبتنی بر شکل مود اول سازه به عنوان رهیافتی جایگزین برای تحلیل‌های دینامیکی غیرخطی معرفی شد، روش‌های پوش اور مختلفی با هدف بهبود دقت و عملکرد این روش‌ها ارائه گردیده‌اند که در مقدمه به آنها اشاره گردید. در این روش‌ها یک مدل غیرخطی از سازه تحت بارگذاری با الگوی بار جانبی افزایشی ثابت یا بهنگام شونده قرار می‌گیرد تا زمانی که تغییرمکان نقطه کنترل از جایه‌جایی هدف فراتر رود یا سازه فرو بریزد. جایه‌جایی هدف T حداکثر جایه‌جایی محتمل سازه است که براساس سطح عملکرد متناسب با هدف ارزیابی به دست می‌آید.

در این مطالعه، هدف ارائه یک روش پوش اور به منظور برآورده پاسخ‌های مبتنی بر جایه‌جایی سازه در سطح آستانه فروریزش سازه است به گونه‌ای که قادر پیچیدگی‌های روش‌های نوین پوش اور بوده و برای عموم مهندسین قابل فهم و استفاده باشد. در این روش، بارگذاری به صورت ثابت و طبق شکل مود اول تا سوم سازه صورت می‌گیرد که در نرم‌افزارهای تجاری روشنی متدائل است. جایه‌جایی هدف در سطح آستانه فروریزش نیز همان‌گونه که در بخش ۳ ارائه شد، به گونه‌ای تعیین می‌شود که تنها به سازه و الگوی بارگذاری وابسته است و از خروجی‌های نرم‌افزاری به راحتی قابل استخراج می‌باشد. پاسخ نهایی سازه در این روش، از جمع پاسخ‌های مodal سازه بر اساس رابطه (۱) حاصل می‌گردد:

$$EDP_{OMPA} = \sum_{i=1}^m \alpha_i EDP_i \quad (1)$$

در این معادله  $m$  تعداد مودهای درنظر گرفته شده،  $\alpha_i$  ضریب ترکیب مودی مود  $i$  ام و  $EDP_{i,OMPA}$  به ترتیب پارامتر تقاضای مهندسی<sup>(۷)</sup> مبتنی بر جایه‌جایی در سطح آستانه فروریزش حاصل از

<sup>2</sup> Optimized Modal Pushover Analysis

<sup>3</sup> Particle Swarm Optimization

<sup>4</sup> Colliding Bodies Optimization

<sup>1</sup> Engineering Demand Parameter

$$\|e\| = \sqrt{\sum_{j=1}^n e_j^2} \quad (3)$$

در این معادلات  $n$  تعداد طبقات سازه، زاندیس طبقه،  $IDR_{j-IDA}$  دریفت طبقه زام حاصل از تحلیل IDA، دریفت طبقه زام حاصل از تحلیل پوش اور پیشنهادی،  $e_j$  بردار خطای هر طبقه و  $\|e\|$  تابع هدف می باشد. در جدول ۵ ضرایب مودی حاصل از فرآیندهای بهینه سازی در دو حالت با در نظر گرفتن دو و سه مود ارائه شده اند. این ضرایب با هر دو روش PSO و CBO کاملاً یکسان به دست آمده اند که نشان می دهد روش بهینه سازی تأثیری بر ضرایب بدست آمده ندارد. با این وجود با استفاده از روش PSO ضرایب با سرعت بالاتری نسبت به روش CBO حاصل شدند.

بررسی ضرایب پیشنهادی روش OMPA نشان می دهد که مطابق شکل ۶ میان افزایش تعداد طبقات و ضرایب ترکیب مودهای اول تا سوم روابطی خطی طبق رابطه (۴) قابل برآورد است که در آن  $\alpha$  شماره مود است. بدین صورت که با افزایش تعداد طبقات، ضرایب مشارکت مود اول کاهش و ضرایب مود دوم و سوم افزایش پیدا می کنند. در جدول ۶ ضرایب مربوط به رابطه (۴) (ضرایب  $a_i$  و  $b_i$ ) برای دو حالت در نظر گرفتن دو مود و سه مود ارائه شده است.

$$\dot{a}_i = a_i N + b_i \quad (4)$$

با استفاده از رابطه (۴) و مقادیر جدول ۶ می توان ضرایب ترکیب مودی را برای قاب های خمی فولادی میان مرتبه (۴ تا ۱۲ طبقه) محاسبه و پاسخ های مبتنی بر جابه جایی آنها را در سطح آستانه فروریزش استخراج نمود.

شکل ۵ ارائه شده است. سپس پروفیل دریفت طبقات این سازه ها در سطح آستانه فروریزش برای هر مود استخراج گردید.

در گام بعد، سازه های مورد مطالعه با روش IDA به عنوان روش Mرجع و با استفاده از ۲۲ جفت رکورد دوراز گسل FEMA P695 تحلیل شدند. در این تحلیل ها، شتاب طیفی متناظر با پریود مود اول سازه  $Sa(T_1)$  به عنوان پارامتر شدت لرزه ای و حداکثر نسبت دریفت طبقات ( $IDR_{max}$ ) به عنوان پارامتر تقاضای مهندسی در نظر گرفته شده اند [۲۰] در این تحلیل، سطح آستانه فروریزش در تحلیل IDA زمانی در نظر گرفته می شود که شیب منحنی IDA در مختصات  $Sa(T_1 - IDR_{max})$  از ۲۰٪ شیب اولیه منحنی در حالت الاستیک کمتر شود و سازه ۸۰ درصد سختی اولیه خود را از دست بدهد [۳۹] در شکل ۵ منحنی های مورد مطالعه به همراه میانه شتاب فروریزش متناظر با سطح آستانه فروریزش آنها ارائه شده است.

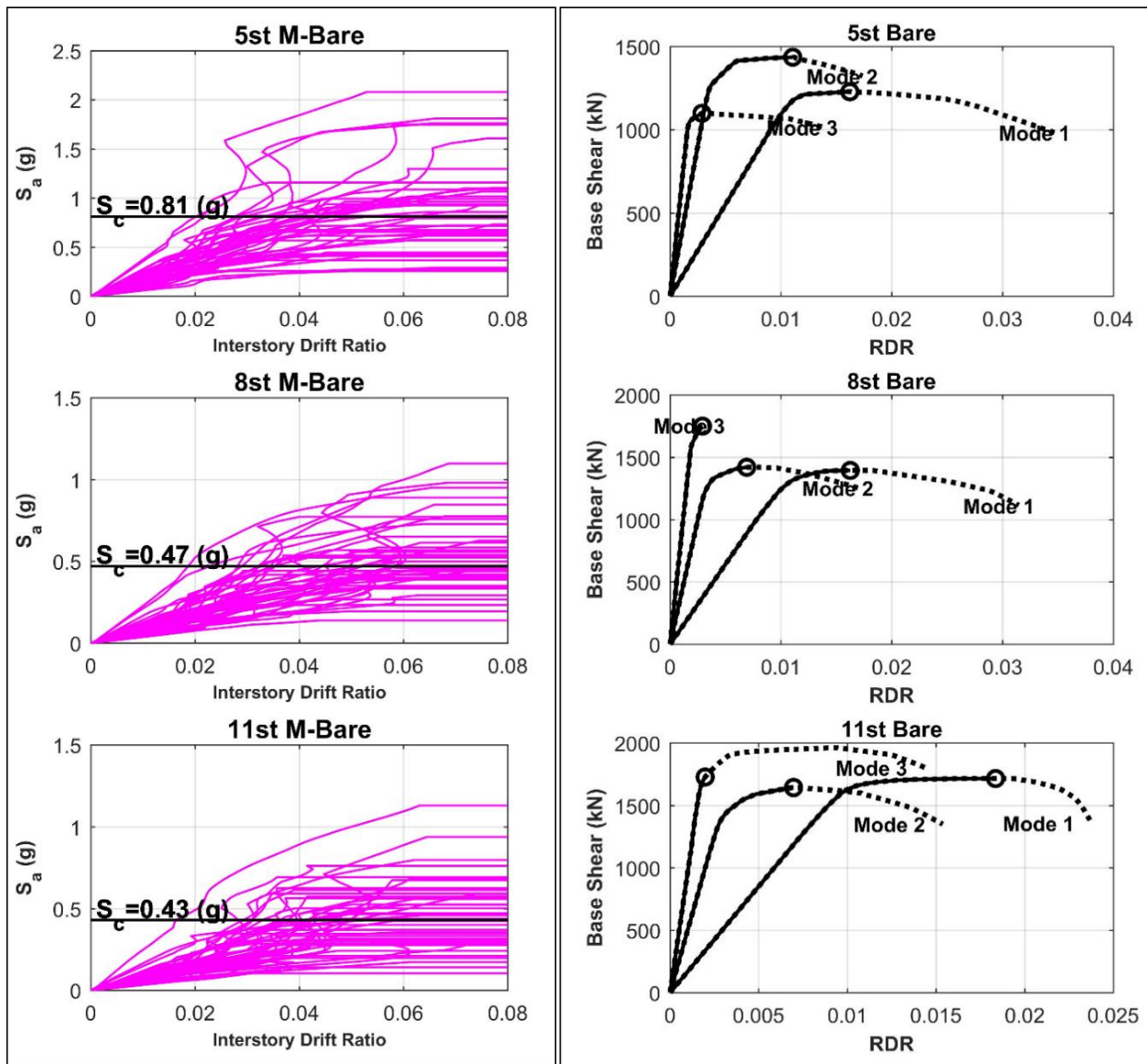
در تحلیل های IDA مقدار دریفت هر طبقه برابر میانه مقادیر دریفت آن طبقه تحت شتاب نگاشته های مورد بررسی است. از این رو در گام بعد، میانه دریفت کلیه طبقات در آستانه فروریزش به دست آمده و پروفیل دریفت طبقات حاصل از تحلیل های IDA برای هر مدل تعیین گردید. سپس طبق رابطه (۲)، بردار اختلاف پروفیل دریفت طبقات حاصل از تحلیل های IDA و دریفت حاصل از روش پیشنهادی OMPA بدست آمد. نرم این بردار طبق رابطه (۳)، به عنوان تابع هدف تعریف شده و ضرایب ترکیب مودی بهینه شده یا  $\alpha_i$  با استفاده از الگوریتم های بهینه سازی به گونه ای تعیین گردیدند که تابع هدف کمینه شود:

$$e_j = IDR_{j-IDA} - IDR_{j-OMP} \quad (2)$$

جدول ۵. ضرایب ترکیب مودی حاصل از بهینه سازی برای قاب های خمی ۵، ۸ و ۱۱ طبقه مورد مطالعه

Table 5. The modal combination coefficients resulted from the optimization process of the under-study 5, 8 and 11-story IMRFs

	Story	3 Mode			2 Mode	
		Coeff 1	Coeff 2	Coeff 3	Coeff 1	Coeff 2
Bare	5	1.56	0.13	0.07	1.57	0.15
	8	1.21	0.44	0.19	1.26	0.57
	11	0.82	0.64	0.29	0.87	0.79



شکل ۵. منحنی‌های IDA و ظرفیت حاصل از تحلیل پوش اور مود اول تا سوم قاب‌های خمی ۵، ۸ و ۱۱ طبقه مورد مطالعه

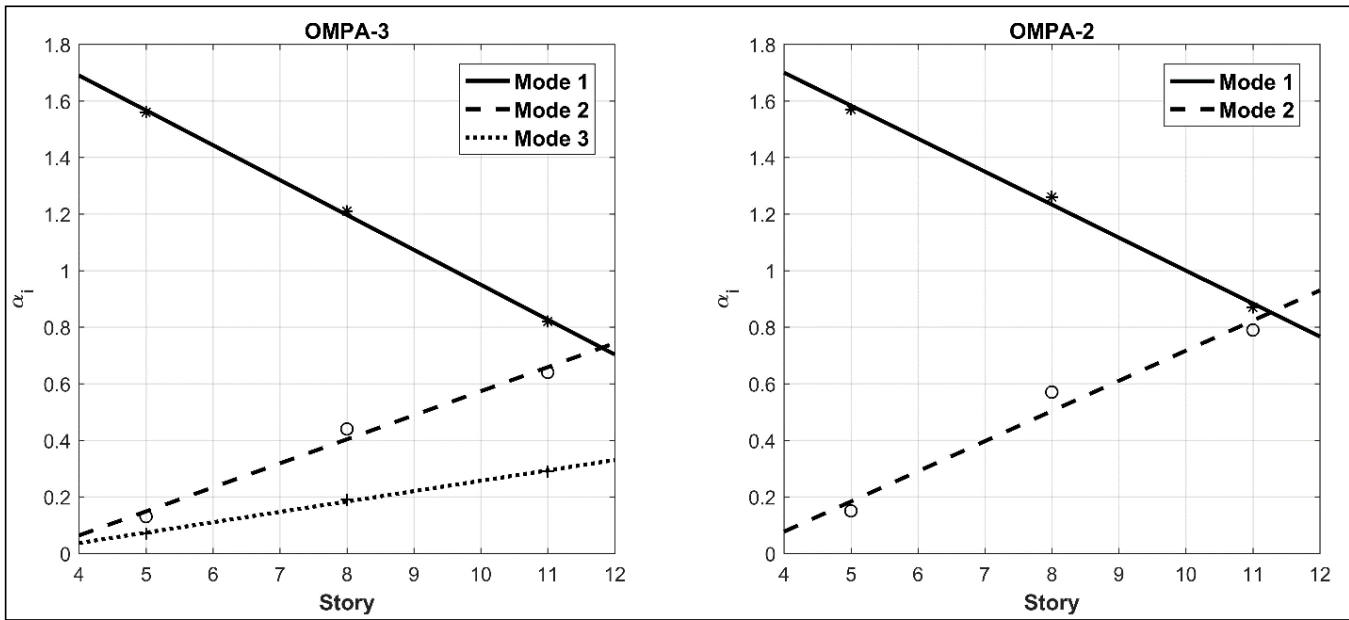
**Fig. 5. The IDA curves and the capacity curves resulted from the first to the third-mode modal pushover of the under-study 5, 8 and 11-story IMRFs**

- ۴- استخراج پاسخ‌های مبني بر جابه‌جايی سازه در سطح آستانه فروریزش در تحلیل‌های پوش اور
- ۵- استخراج ضرایب ترکیب مودی با استفاده از رابطه (۴) و جدول ۶
- ۶- تعیین پاسخ‌های سازه با استفاده از رابطه (۱) و ضرایب ترکیب مودی به دست آمده

## ۵- نتایج و بحث

در این بخش، ابتدا به منظور بررسی معیار آستانه فروریزش

- ۴- خلاصه گام‌های روش پوش اور OMPA
- ۵- گام‌های پوش اور پیشنهادی OMPA به طور خلاصه به شرح ذیل می‌باشد:
  - ۱- تحلیل مودال سازه و استخراج اشکال مودهای اول تا سوم سازه
  - ۲- انجام تحلیل‌های پوش اور مودال طبق اشکال مودهای اول تا سوم سازه
  - ۳- تعیین گام متناظر با سطح آستانه فروریزش طبق روش پیشنهادی بخش ۳



شکل ۶. منحنی میزان ضرایب مودهای اول تا سوم در روش OMPA نسبت به تعداد طبقات

Fig. 6. The modal combination coefficients versus the story number in the proposed OMPA method

جدول ۶. مقادیر ضرایب a و b به منظور تعیین ضرایب ترکیب مودهای اول تا سوم در روش پیشنهادی OMPA

Table 6. The values of a and b coefficients to determine the first to third modal combination coefficients in the proposed OMPA method

	OMPAs-3			OMPAs-2	
	Mode 1	Mode 2	Mode 3	Mode 1	Mode 2
a	-0.123	0.085	0.037	-0.117	0.107
b	2.183	-0.277	-0.110	2.167	-0.350

آن به واقعیت نزدیکتر است. در ادامه نتایج حاصل از تحلیل پوش اور پیشنهادی OMPA در تخمین پارامترهای تقاضای مهندسی مبتنی بر جابه جایی در سطح آستانه فروبریزش قابهای ۵، ۸ و ۱۱ طبقه در مقایسه با نتایج تحلیل IDA ارائه می شوند. در این تحقیق، به منظور محاسبه خطای روش های پوش اور از رابطه (۵) استفاده شده است [۳۶] که در آن  $n_{st}$  تعداد طبقات ساختمان است.

$$Error\% = \frac{100}{n_{st}} \sqrt{\sum_{i=1}^{n_{st}} \left( \frac{EDP_{i-ID\!A} - EDP_{i-Push}}{EDP_{i-ID\!A}} \right)^2} \quad (5)$$

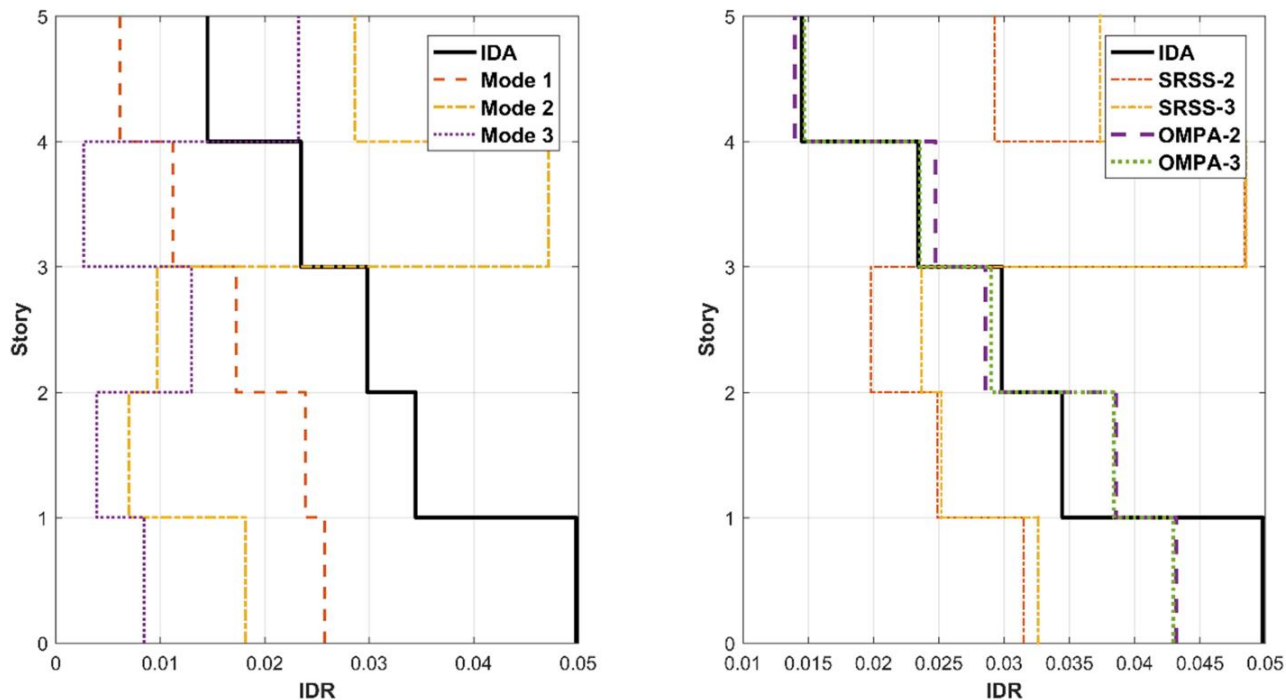
در شکل ۷ تا شکل ۹ پروفیل دریفت طبقات حاصل از روش

پیشنهادی، جابه جایی بام حاصل از روش پیشنهادی در مقایسه با جابه جایی هدف حاصل از روش ضرایب تحت تحلیل پوش اور مد اول مقایسه و بررسی می گردد. این نتایج در جدول ۷ ارائه شده است: همان گونه که مشاهده می شود، جابه جایی بام حاصل از این دو روش در یک محدوده قرار دارند. در روش ضرایب، جابه جایی بام با اصلاح مقدار جابه جایی سازه یک درجه آزاد حاصل از طیف طراحی و پریود مد اول سازه به دست می آید. در حالی که در روش پیشنهادی، جابه جایی بام مستقل از طیف طرح بوده و تنها براساس الگوی بارگذاری و مشخصات سازه به دست می آید و مستقیماً به پاسخ های سازه اصلی وابسته است. لذا روش پیشنهادی از دقت بالاتری در تعیین سطح آستانه فروبریزش برخوردار بوده و پاسخ های

## جدول ۷. مقایسه جابه‌جایی بام در سطح عملکرد آستانه فروریزش حاصل از روش پیشنهادی با روش ضرایب

Table 7. The comparison of the roof displacement at the CP level resulted from the proposed and the coefficient methods and OMPA method

	Proposed Criteria	Coefficient Method
<b>5 Story</b>	0.27 m	0.30 m
<b>8 Story</b>	0.44 m	0.50 m
<b>11 Story</b>	0.62 m	0.63 m



شکل ۷. پروفیل دریفت طبقات قاب‌های خمسی ۵ طبقه مورد مطالعه حاصل از روش‌های پوش‌اور در مقایسه با روش IDA

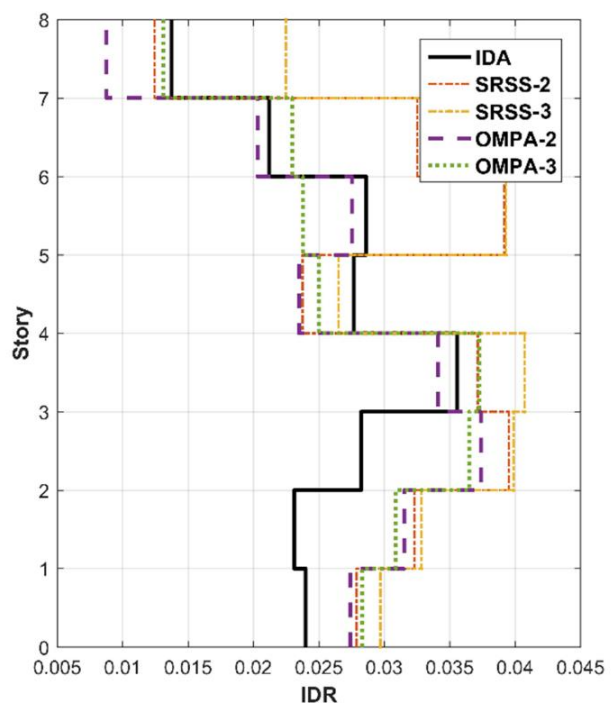
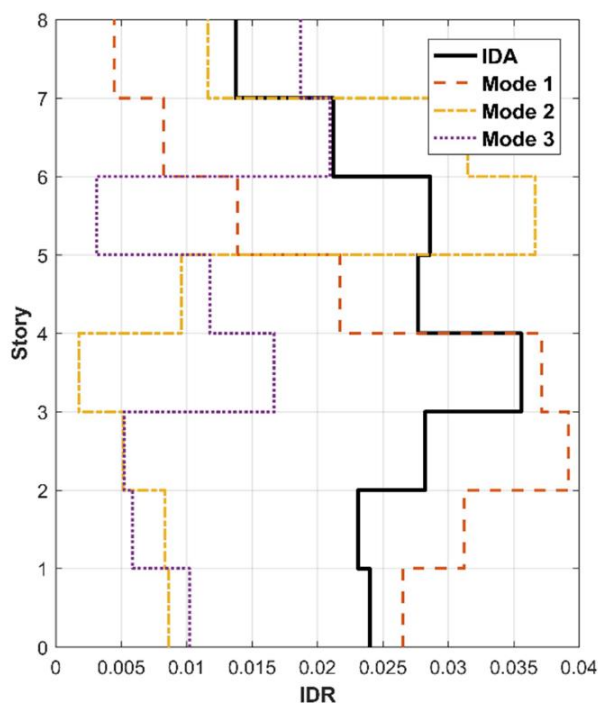
Fig. 7. The inter-story drift profile of the 5-story IMRF resulted from the pushover methods in comparison with the IDA results

از اثر مود سوم صرف نظر نمود. در قاب‌های ۸ و ۱۱ طبقه، در نظر گرفتن اثر مودهای دوم و سوم با روش SRSS نیز میزان خطا را نسبت به تحلیل پوش‌اور مود اول کاهش می‌دهد؛ ولی دقت نتایج حاصل از روش OMPA بسیار بالاتر است. این نتایج نشان می‌دهد که در این قاب‌ها نیز روش OMPA با در نظر گرفتن دو مود پاسخ‌های مناسبی ارائه می‌کند و می‌توان به منظور کاهش حجم محاسبات از اثر مود سوم صرف نظر نمود.

پروفیل جابه‌جایی طبقات یکی دیگر از پارامترهای EDP است که می‌تواند به عنوان یک شاخص خرابی کلی در آستانه فروریزش

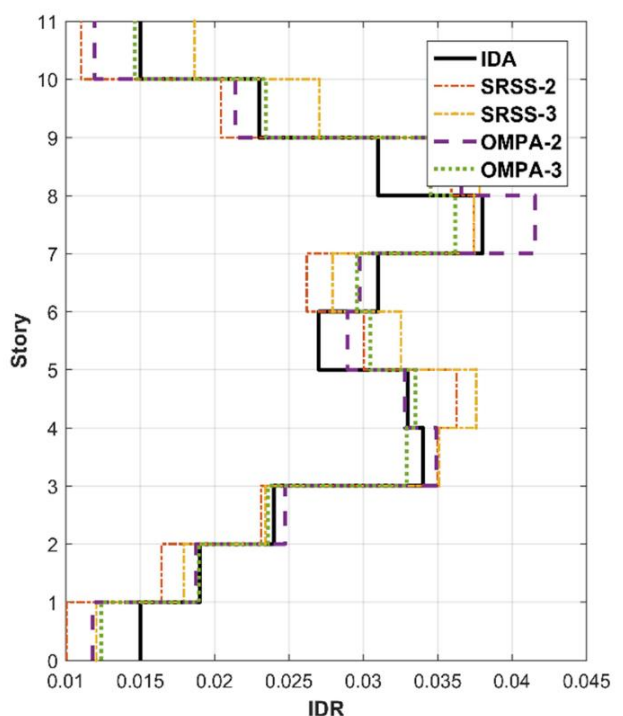
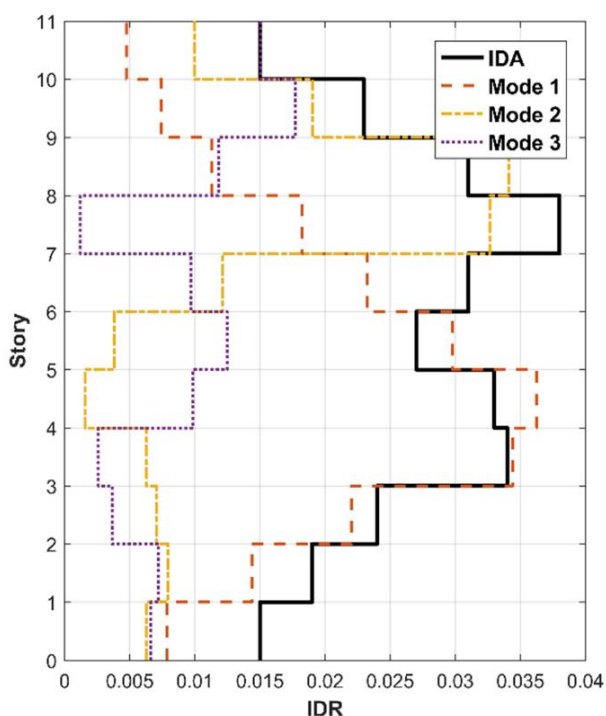
پیشنهادی OMPA، روش ترکیب SRSS و پوش‌اور مود اول در مقایسه با نتایج تحلیل IDA نشان داده شده‌اند. در جدول ۷ نیز مقدار خطا این روش‌ها را ارائه گردیده است.

همان‌گونه که مشاهده می‌شود، در قاب ۵ طبقه در نظر گرفتن اثر مودهای دوم و سوم با روش SRSS میزان خطا را نسبت به تحلیل پوش‌اور مود اول افزایش می‌دهد، ولی با استفاده از ضرایب پیشنهادی روش OMPA، مقدار خطا به مقدار قابل توجهی کاهش پیدا می‌کند. همچنین در نظر گرفتن دو مود نیز مقدار خطا افزایش قابل ملاحظه‌ای پیدا نمی‌کند و می‌توان برای افزایش سرعت محاسبات،



شکل ۸. پروفیل دریفت طبقات قاب‌های خمشی ۸ طبقه مورد مطالعه حاصل از روش‌های پوش اور در مقایسه با روش IDA

Fig. 8. The inter-story drift profile of the 8-story IMRF resulted from the pushover methods in comparison with the IDA results



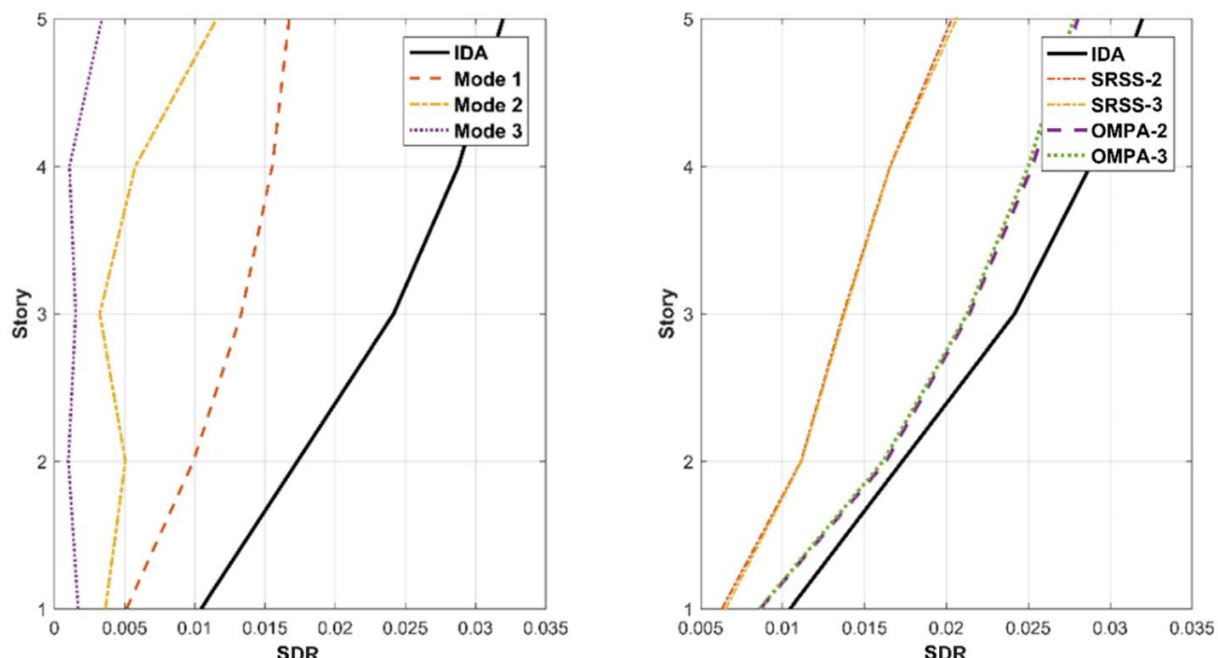
شکل ۹. پروفیل دریفت طبقات قاب‌های خمشی ۱۱ طبقه مورد مطالعه حاصل از روش‌های پوش اور در مقایسه با روش IDA

Fig. 9. The inter-story drift profile of the 11-story IMRF resulted from the pushover methods in comparison with the IDA results

#### جدول ۸. مقادیر خطای روش‌های پوش‌اور در برآوردهای پروفیل دریفت طبقات در آستانه فروریزش در مقایسه با تحلیل IDA

**Table 8. The error values of the pushover methods in evaluation of the inter-story drift profile at the CP level in comparison with the IDA results**

	Mode 1	SRSS-2	SRSS-3	OMPA-2	OMPA-3
5st	21.1%	31.6%	39.3%	3.9%	3.6%
8st	17.6%	9.4%	12.5%	5.3%	4.6%
11st	12.8%	4.8%	4.6%	3.4%	2.3%
Error%	17.2%	15.3%	18.8%	4.2%	3.5%

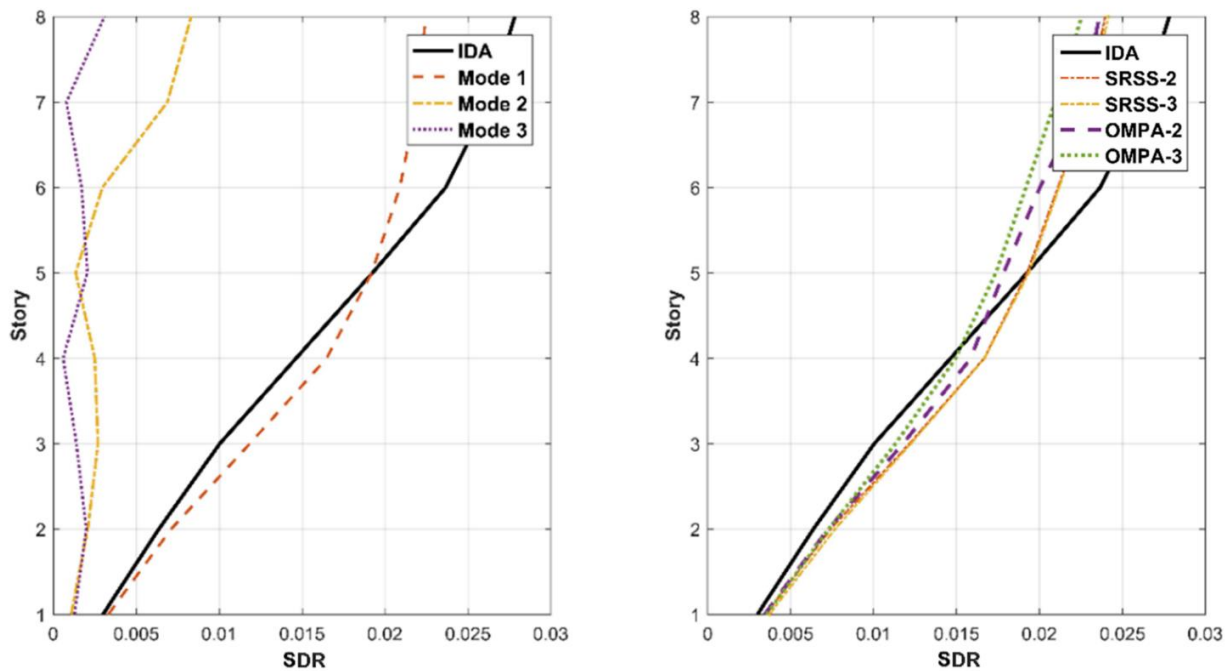


شکل ۱۰. پروفیل جابه‌جایی طبقات قاب خمشی ۵ طبقه مورد مطالعه حاصل از روش‌های پوش‌اور در مقایسه با روش IDA

**Fig. 10. The story displacement profile of the 5-story IMRF resulted from the pushover methods in comparison with the IDA results**

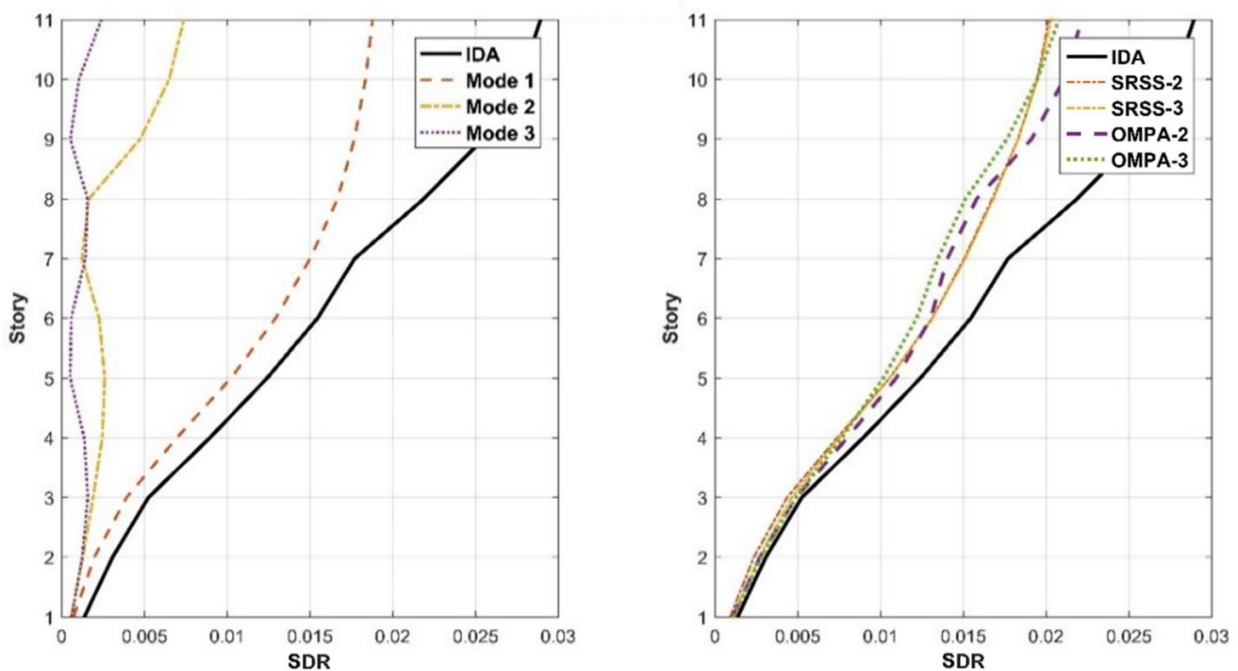
۱۰ تا ۱۲ و خطای متناظر آنها در جدول ۸ ارائه شده‌اند. همان‌گونه که مشاهده می‌شود، روش پیشنهادی OMPA در برآوردهای پروفیل جابه‌جایی طبقات نیز دقت مناسبی ارائه می‌کند و مقادیر خطای روش‌های پوش‌اور مود اول و ترکیب SRSS را تا حد بسیار خوبی بهبود می‌دهد.

سازه مورد مطالعه قرار گیرد. با توجه به یکسان بودن ماهیت این پاسخ با پروفیل دریفت طبقات، می‌توان از ضرایب به دست آمده از بهینه‌سازی برای برآورده این شاخص نیز استفاده نمود. بدین منظور، پروفیل جابه‌جایی طبقات حاصل از تحلیل‌های پوش‌اور مود اول تا سوم با ضرایب ترکیب مودی پیشنهادی ترکیب شده و با نتایج تحلیل IDA مقایسه شده‌اند. این نتایج در شکل‌های



شکل ۱۱. پروفیل جابه‌جایی طبقات قاب خمسی ۸ طبقه مورد مطالعه حاصل از روش‌های پوش اور در مقایسه با روش IDA

Fig. 11. The story displacement profile of the 8-story IMRF resulted from the pushover methods in comparison with the IDA results



شکل ۱۲. پروفیل جابه‌جایی طبقات قاب خمسی ۱۱ طبقه مورد مطالعه حاصل از روش‌های پوش اور در مقایسه با روش IDA

Fig. 12. The story displacement profile of the 11-story IMRF resulted from the pushover methods in comparison with the IDA results

## شکل‌های ۱۳ و ۱۴ و مقادیر خطای این روش‌ها در جدول ۱۲ ارائه گردیده‌اند.

همان‌گونه که مشاهده می‌شود، روش پوش‌اور پیشنهادی OMPA در این دو مدل نیز دقیق بسیار مناسبی در تخمین هر دو پروفیل دریفت و جابه‌جایی طبقات ارائه می‌کنند؛ به گونه‌ای که نسبت به نتایج تحلیل پوش‌اور مود اول و روش ترکیب SRSS دقیق بسیار بهتری دارند. همچنین نتایج نشان می‌دهد که برای این سازه نیز در نظر گرفتن دو مود اول برای استخراج نتایج کفايت می‌کند و از دقیق بخوردار می‌باشد.

این نتایج مجموعاً نشان می‌دهد که روش پیشنهادی OMPA می‌تواند با دقیق مناسب و سرعت بسیار بالاتر از تحلیل IDA

## ۶- مطالعه موردی

به منظور ارزیابی دقیق روش پوش‌اور پیشنهادی، کاربرد این روش بر روی دو قاب خمسی ۹ و ۱۲ طبقه مورد بررسی قرار می‌گیرد. قاب خمسی ۹ طبقه مورد بررسی، مدل SAC ۲-Pre-Northridge M است که یک مدل مرجع در قاب‌های خمسی فولادی است و جزئیات تفصیلی اجزا و المان‌های آن در دستورالعمل FEMA ۳۵۵۵ ارائه گردیده است [۳۰]. نمای کلی مدل ۱۲ طبقه نیز طبق شکل ۱ است و جزئیات المان‌های آن در جدول ۱۰ ارائه گردیده است.

با استفاده از گام‌های روش OMPA، ضرایب ترکیب مودی این دو قاب برای دو حالت درنظرگرفتن دو مود و سه مود در جدول ۱۱ ارائه شده است. پروفیل دریفت و پروفیل جابه‌جایی طبقات این سازه‌ها حاصل از روش‌های پوش‌اور در مقایسه با تحلیل IDA نیز در

جدول ۹. مقادیر خطای روش‌های پوش‌اور در برآورد پروفیل جابه‌جایی طبقات در آستانه فروبریش در مقایسه با تحلیل IDA

Table 9. The error values of the pushover methods in evaluation of the story displacement profile at the CP level in comparison with the IDA results

	Mode 1	SRSS-2	SRSS-3	OMPA-2	OMPA-3
5st	20.8%	17.7%	17.4%	5.6%	5.8%
8st	15.8%	14.2%	13.1%	7.2%	7.9%
11st	8.8%	7.1%	6.3%	5.8%	6.8%
Error%	15.1%	13.0%	12.2%	6.2%	6.8%

جدول ۱۰. مشخصات مقاطع قاب خمسی ۱۲ طبقه مورد بررسی

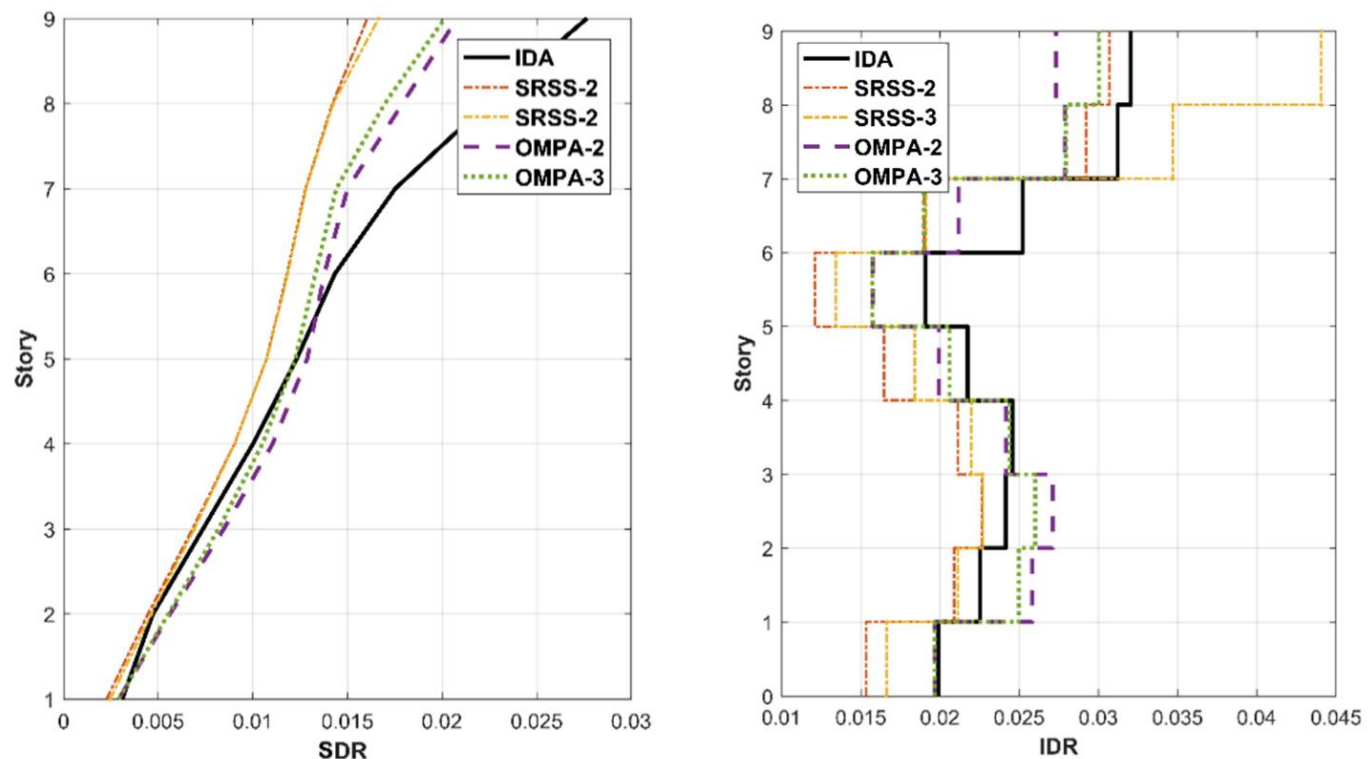
Table 10. The section details of the under-study 12-story IMRF

		St 1	St 2	St 3	St 4	St 5	St 6	St 7	St 8	St 9	St 10	St 11	St 12
Beam	Bays 1, 4	6	6	6	7	7	8	8	9	9	9	10	10
	Bays 2, 3	6	7	7	7	8	8	8	8	9	9	10	10
12st	Axis 1, 5	1	1	1	1	2	2	3	3	3	3	5	5
	Column	Axis 2, 4	1	1	2	2	3	3	3	4	4	5	5
	Axis 3	1	1	2	2	3	3	3	3	4	4	5	5

جدول ۱۱. ضرایب ترکیب مودی حاصل از روش پیشنهادی OMPA برای قاب‌های ۹ و ۱۲ طبقه مورد بررسی

Table 11. The modal combination coefficients resulted from the proposed OMPA method for the under-study 9 and 12-story IMRFs

	OMPA-3			OMPA-2	
	Coeff 1	Coeff 2	Coeff 3	Coeff 1	Coeff 2
9 Story	1.07	0.49	0.22	1.12	0.61
12 Story	0.93	0.77	0.33	0.74	0.70



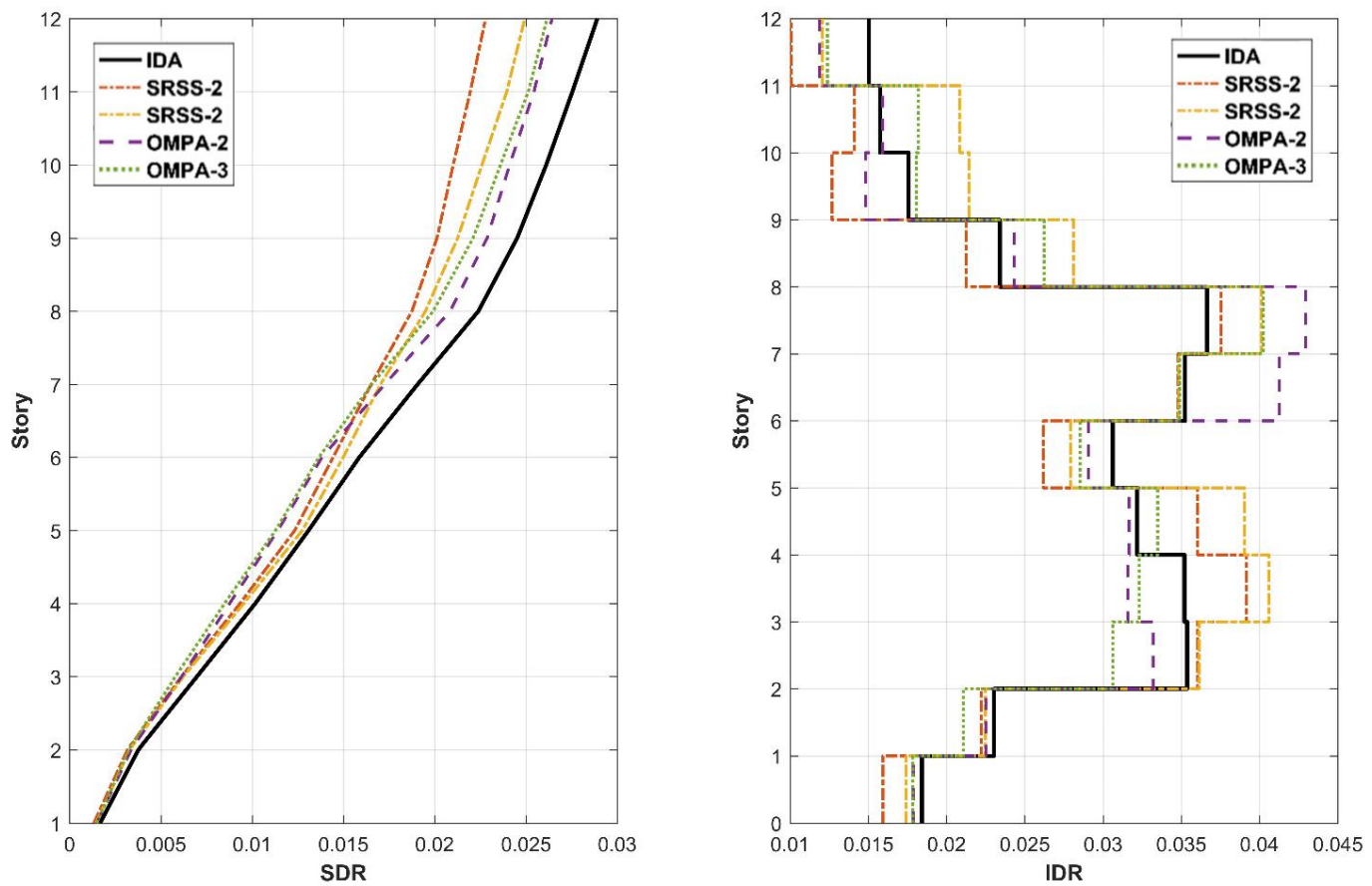
شکل ۱۳. برووفیل دریفت و جابه‌جایی طبقات قاب خمسی ۹ طبقه حاصل از روش‌های پوش او ر در مقایسه با روش IDA

Fig. 13. The inter-story drift and the story displacement profiles of the 9-story IMRF resulted from the pushover methods in comparison with the IDA results

جدول ۱۲. مقادیر خطای روش‌های پوش او ر در برآوردهای پاسخ مدل های ۹ و ۱۲ طبقه در آستانه فروریزش در مقایسه با روش IDA

Table 12. The response evaluation errors values of the pushover methods in at the CP level in comparison with the IDA results

		Mode 1	SRSS-2	SRSS-3	OMPA-2	OMPA-3
9 Story	Drift	15.2%	6.5%	6.7%	4.1%	4.0%
	Displacement	8.0%	8.0%	7.6%	5.0%	5.2%
12 Story	Drift	15.2%	6.5%	6.7%	4.1%	4.0%
	Displacement	8.0%	8.0%	7.6%	5.0%	5.2%



شکل ۱۴: پروفیل دریفت و جابه‌جایی طبقات قاب خمشی ۱۲ طبقه حاصل از روش‌های پوش اور در مقایسه با روش IDA

Fig. 14. The inter-story drift and the story displacement profiles of the 12-story IMRF resulted from the pushover methods

شاخص‌های خرابی جابه‌جایی‌پایه سازه شامل پروفیل دریفت و جابه‌جایی طبقات در آستانه فروریزش شامل روش، پاسخ‌های حاصل از مودهای اول و دوم سازه و یا مودهای اول تا سوم سازه در سطح آستانه فروریزش با ضرایب پیشنهادی روش OMPA ترکیب می‌شوند. در روش پیشنهادی، سطح آستانه فروریزش با یک معیار جدید تعیین می‌گردد. این معیار با ترکیب دو شاخص خرابی در مقیاس طبقه شامل دریفت طبقه و برش طبقه پیشنهاد شده است. در این معیار، گام متناظر با وقوع اولین روند بازگشتی در منحنی ظرفیت طبقات ساختمان (در مختصات  $IDR_{st} - V_{st}$ ) به عنوان آستانه فروریزش (CP) فرض می‌گردد. وقوع یک روند بازگشتی در منحنی ظرفیت طبقات به معنای شروع تمرکز خرابی قابل توجه در یک یا چند طبقه دیگر سازه است به گونه‌ای که از سایر طبقات به مرور باربرداری شده و روند بازگشتی مشاهده می‌شود. مزیت این معیار، وابستگی آن تنها به سازه و الگوی بارگذاری است و اینکه به

شاخص‌های خرابی جابه‌جایی‌پایه سازه در آستانه فروریزش شامل پروفیل دریفت و پروفیل جابه‌جایی طبقات قاب‌های خمشی فولادی میان‌مرتبه را تخمین بزنند.

#### ۷- نتیجه‌گیری

فروریزش ساختمان‌ها در زمین‌لرزه‌های شدید مهم‌ترین عامل تلفات جانی و خسارات مالی است و لذا ارزیابی فروریزش لرزه‌ای ساختمان‌ها از اهمیت بالایی برخوردار است. برآورد شاخص‌های خرابی در سطح آستانه فروریزش سازه یکی از اهدافی است که در فرآیند ارزیابی فروریزش لرزه‌ای به آن پرداخته می‌شود. روش‌های استاتیکی غیرخطی یا پوش اور در دو دهه اخیر در فرآیند تحلیل و ارزیابی عملکرد لرزه‌ای ساختمان‌ها توسعه زیادی پیدا کرده‌اند و در دستورالعمل‌های ارزیابی و بهسازی نیز مورد تأیید قرار گرفته‌اند. در این پژوهش، با توجه به تأثیر مودهای بالاتر در پاسخ‌های قاب‌های خمشی میان‌مرتبه روشی با عنوان پوش اور مodal بهینه شده

20(3) (2019) 47-59.

- [2] R. Abbasnia, A. Tajik Davoudi, M.M. Maddah, An improved displacement-based adaptive pushover procedure for the analysis of frame buildings, *Journal of Earthquake Engineering*, 18(7) (2014) 987-1008.
- [3] ASCE 07. Minimum design loads and associated criteria for buildings and other structures, in, Reston, Virginia: American Society of Civil Engineers, 2016.
- [4] S. Eshghi, M.M. Maddah, A study on influencing factors for simplified seismic collapse risk assessment of steel moment-resisting frames with intermediate ductility, *International Journal of Structural Integrity*, (2019).
- [5] R. Pekelnicky, S.D. Engineers, S. Chris Poland, N.D. Engineers, ASCE 41-13: Seismic evaluation and retrofit rehabilitation of existing buildings, *Proceedings of the SEAOC*, (2012).
- [6] H. Krawinkler, G. Seneviratna, Pros and cons of a pushover analysis of seismic performance evaluation, *Engineering structures*, 20(4-6) (1998) 452-464.
- [7] S. Antoniou, R. Pinho, Development and verification of a displacement-based adaptive pushover procedure, *Journal of earthquake engineering*, 8(05) (2004) 643-661.
- [8] M.A. Shayanfar, M. Rakhshani Mehr, M. Ashoory, Adaptive Load Patterns Versus Non-adaptive Load Patterns for Pushover Analysis of Building, *Iranian Journal of Science and Technology, Transactions of Civil Engineering*, 43(1) (2019) 23-36.
- [9] A.K. Chopra, R.K. Goel, A modal pushover analysis procedure to estimate seismic demands for buildings: theory and preliminary evaluation, PEER 2001/03, (2001).
- [10] M.A. Amini, M. Poursha, Adaptive Force-Based Multimode Pushover Analysis for Seismic Evaluation of Midrise Buildings, *Journal of Structural Engineering*, 144(8) (2018) 04018093.
- [11] Y. Liu, J. Kuang, Estimating seismic demands of singly symmetric buildings by spectrum-based pushover analysis, *Bulletin of Earthquake Engineering*, 17(4) (2019) 2093-2113.
- [12] A. Tajik Davoudi, R. Abbasnia, A. Sarvghad Moghadam, M.M. Maddah, A. Khodam, An alternative

یک تغییر فیزیکی مشخص در سازه مرتبط می‌گردد.

ضرایبی پیشنهادی روش OMPA با استفاده از دو روش بهینه‌سازی ازدحام ذرات (PSO) و بهینه‌سازی برخورد اجسام (CBO) و براساس پروفیل دریفت طبقات نتایج سه قاب خمشی ۵، ۸ و ۱۱ طبقه بدست آمداند. این ضرایب یک روند خطی را نسبت به تعداد طبقات نشان می‌دهند به گونه‌ای که ضریب مود اول با افزایش تعداد طبقات کاهش یافته و ضریب مود دوم و سوم افزایش می‌یابد. این مشاهده با افزایش مشارکت مودهای بالاتر با افزایش تعداد طبقات مطابق است. بر این اساس، برازش‌هایی خطی برای قاب‌های خمشی میان مرتبه ارائه شد. با استفاده از این روابط می‌توان پروفیل دریفت و جابه‌جایی مطلق طبقات قاب‌های خمشی فولادی منظم را در آستانه فروریزش تخمین زد.

## فهرست علائم

### علائم انگلیسی

ضریب ثابت به منظور محاسبه ضرایب ترکیب مودی	<i>a</i>
ضریب ثابت به منظور محاسبه ضرایب ترکیب مودی	<i>b</i>
بردار خطی برآورده شده در هر طبقه	<i>e<sub>j</sub></i>
تابع هدف در فرآیند بهینه‌سازی	$\ e\ $
تعداد مودهای در نظر گرفته شده	<i>m</i>
تعداد طبقات سازه	<i>n</i>
اندیس مود	<i>i</i>
اندیس طبقه	<i>j</i>
پارامتر تقاضای مهندسی	<i>EDP</i>
نسبت دریفت طبقات	<i>IDR</i>
نسبت جابه‌جایی طبقات	<i>SDR</i>
نسبت جابه‌جایی یام	<i>RDR</i>
پریود مود ۱ ام سازه	<i>T<sub>i</sub></i>

### علائم یونانی

ضریب ترکیب مود ۱ ام	$\alpha_i$
ضریب مشارکت مود ۱ ام سازه	$\Gamma_i$

## مراجع

- [1] M.M. Maddah, S. Eshghi, Evaluation of a Seismic Collapse Assessment Methodology Based on the Collapsed Steel Buildings Data in Sarpole Zahab, Iran Earthquake, *Journal of Seismology and Earthquake Engineering*,

- the building. 3rd ed. Tehran, Iran: Ministry of Housing and Urban Development, Office of National Building Regulations; 2013.
- [24] D.G. Lignos, H. Krawinkler, Deterioration modeling of steel components in support of collapse prediction of steel moment frames under earthquake loading, *Journal of Structural Engineering*, 137(11) (2011) 1291-1302.
- [25] D.G. Lignos, H. Krawinkler, A steel database for component deterioration of tubular hollow square steel columns under varying axial load for collapse assessment of steel structures under earthquakes, in: Proc. 7th Int. Conf. on Urban Earthquake Engineering (7CUUE), Center for Urban Earthquake Engineering, Tokyo Institute of Technology Tokyo, 2010.
- [26] D.G. Lignos, H. Krawinkler, A database in support of modeling of component deterioration for collapse prediction of steel frame structures, in: *Structural Engineering Research Frontiers*, 2007, pp. 1-12.
- [27] L.F. Ibarra, R.A. Medina, H. Krawinkler, Hysteretic models that incorporate strength and stiffness deterioration, *Earthquake engineering & structural dynamics*, 34(12) (2005) 1489-1511.
- [28] Ibarra LF. Global collapse of frame structures under seismic excitations. PhD Thesis of Stanford University; 2005.
- [29] L. Eads, D. Lignos, Pushover and dynamic analyses of 2-story moment frame with panel zones and RBS, in, Stanford University, CA, available at:  
[http://opensees.berkeley.edu/wiki/index.php/Pushover\\_and\\_Dynamic\\_Analyses\\_of\\_2-Story\\_Moment\\_Frame\\_with\\_Panel\\_Zones\\_and\\_RBS](http://opensees.berkeley.edu/wiki/index.php/Pushover_and_Dynamic_Analyses_of_2-Story_Moment_Frame_with_Panel_Zones_and_RBS) (accessed March 4, 2019), 2012.
- [30] S.J. Venture, State of the art report on systems performance of steel moment frames subject to earthquake ground shaking, FEMA 355C, (2000.).
- [31] Elkady, D.G. Lignos, Modeling of the composite action in fully restrained beam-to-column connections: implications in the seismic design and collapse capacity of steel special moment frames, *Earthquake Engineering & Structural Dynamics*, 43(13) (2014) 1935-1954.
- [32] B. Shafei, F. Zareian, D.G. Lignos, A simplified method modal combination rule for adaptive pushover analysis, *The Structural Design of Tall and Special Buildings*, 25(7) (2016) 325-339.
- [13] M. Guan, W. Liu, H. Du, J. Cui, J. Wang, Combination model for conventional pushover analysis considering higher mode vibration effects, *The Structural Design of Tall and Special Buildings*, 28(12) (2019) e1625.
- [14] C. Chintanapakdee, A.K. Chopra, Evaluation of modal pushover analysis using generic frames, *Earthquake engineering & structural dynamics*, 32(3) (2003) 417-442.
- [15] P. Fajfar, A nonlinear analysis method for performance-based seismic design, *Earthquake spectra*, 16(3) (573-592), (2000).
- [16] D. L, Sidesway collapse of deteriorating structural systems under seismic excitations, 2013.
- [17] K. Suita, S. Yamada, M. Tada, K. Kasai, Y. Matsuoka, E. Sato, E-Defense tests on full-scale steel buildings: Part 2-Collapse experiments on moment frames, in: *Structural Engineering Research Frontiers*, 2007, pp. 1-12.
- [18] E. Karamanci, D.G. Lignos, Computational approach for collapse assessment of concentrically braced frames in seismic regions, *Journal of Structural Engineering*, 140(8)) (2014) (A4014019).
- [19] Maddah MM, Eshghi S. Developing a modified IDA-based methodology for investigation of influencing factors on seismic collapse risk of steel intermediate moment resisting frames. *Earthquakes and Structures* 2020; Accepted.
- [20] A.T. Council, U.S.F.E.M. Agency, Quantification of building seismic performance factors, US Department of Homeland Security, FEMA, 2009.
- [21] I.S. Code, Iranian code of practice for seismic resistant design of buildings, Standard No. 2800, in, Standard: Tehran, Iran, 2007.
- [22] National building regulations of Iran - the 10th issue, Design and execution of steel structures. 4th ed., in, Tehran, Iran: Office of National Building Regulations, 2013.
- [23] Ministry of Housing and Urban Development. National building regulations of Iran - the 6th issue, loads on

- E-Defense full-scale shake table collapse tests, Journal of Structural Engineering, 139(1) (2013) 120-132.
- [36] R. Eberhart, J. Kennedy, A new optimizer using particle swarm theory. MHS'95: Proceedings of the Sixth International Symposium on. 1995 Oct 4–6; Nagoya, Japan, in: IEEE, 1995.
- [37] D. Karaboga, B. Basturk, A powerful and efficient algorithm for numerical function optimization: artificial bee colony (ABC) algorithm, Journal of global optimization, 39(3) (2007) 459-471.
- [38] S.-Y. Yun, R.O. Hamburger, C.A. Cornell, D.A. Foutch, Seismic performance evaluation for steel moment frames, Journal of Structural Engineering, 128(4) (2002) 534-545.
- for collapse capacity assessment of moment-resisting frame and shear wall structural systems, Engineering Structures, 33(4) (2011) 1107-1116.
- [33] Gupta, H. Krawinkler, Seismic demands for the performance evaluation of steel moment resisting frame structures, Stanford University, 1998.
- [34] Eads L, Ribeiro F, Barbosa A. Dynamic analysis of 2-Story moment frame. Stanford University 2013. [http://opensees.berkeley.edu/wiki/index.php/Dynamic\\_Analysis\\_of\\_2-Story\\_Moment\\_Frame](http://opensees.berkeley.edu/wiki/index.php/Dynamic_Analysis_of_2-Story_Moment_Frame) (accessed March 4, 2019).
- [35] D.G. Lignos, T. Hikino, Y. Matsuoka, M. Nakashima, Collapse assessment of steel moment frames based on

چگونه به این مقاله ارجاع دهیم

S. Eshghi, M. M. Maddah, A. R. Garakaninezhad., (2021). Seismic Response Evaluation of Steel Moment Resisting Frames for Collapse Prevention Level Using a Proposed Modal Pushover Analysis Method. Amirkabir J. Civil Eng., 53(5): 1981-2002

DOI: [10.22060/ceej.2020.17267.6507](https://doi.org/10.22060/ceej.2020.17267.6507)



